

Unidad 04. Esfuerzos causados por la flexión

Diseño por flexión y esfuerzos cortantes en vigas

Michael Heredia Pérez
mherediap@unal.edu.co

Universidad Nacional de Colombia sede Manizales
Departamento de Ingeniería Civil
Análisis Estructural Básico

2023b



Advertencia

Estas diapositivas son solo una herramienta didáctica para guiar la clase, por si solas no deben tomarse como material de estudio y el estudiante debe dirigirse a la literatura recomendada.



Derrotero

- 5.6. Diseño de vigas por esfuerzos de flexión
- 5.8. Esfuerzos cortantes en vigas de sección rectangular
- 5.9. Esfuerzos cortantes en vigas de sección circular
- 5.10. Esfuerzos cortantes en el alma de vigas con alas
- 5.11. Flujo de cortante

Derrotero

- 5.6. Diseño de vigas por esfuerzos de flexión
- 5.8. Esfuerzos cortantes en vigas de sección rectangular
- 5.9. Esfuerzos cortantes en vigas de sección circular
- 5.10. Esfuerzos cortantes en el alma de vigas con alas
- 5.11. Flujo de cortante

Diseño de vigas por esfuerzos de flexión

Desde el punto de vista de la resistencia, buscamos la **forma** y **tamaño** de la viga tal que los esfuerzos actuantes en ella no excedan el esfuerzo admisible del material. Buscaremos el requerido módulo de la sección, según sea su simetría geométrica y comportamiento:

Caso 1: simétrico

- Secciones doblemente simétricas y con la misma resistencia a tracción que a compresión:

$$S = \frac{M_{\text{máx}}}{\sigma_{\text{allow}}}.$$

- Debemos elegir una viga que proporcione un módulo de sección al menos tan grande como el obtenido a partir de la ecuación.

Caso 2: asimétrico

- Secciones que no son doblemente simétricas y que su resistencia a tracción y a compresión es diferente.
- Debemos calcular S para cada comportamiento, buscando cumplir con una viga que satisfaga ambos criterios.

Vigas de secciones y formas estandar

Las dimensiones y propiedades de vigas en materiales metálicos y maderas, así como su procedimiento de diseño, están regulados por diferentes instituciones de autoridad en el mundo, algunas de ellas son:

Estructuras metálicas

- *National Structural Steelwork Specification*, The British Constructional Steelwork Association, UK.
- *Steel Construction Manual*, AISC American Institute of Steel Construction, United States.
- *Eurocode 3*, Europa.
- *Reglamento Colombia de Construcción Sismo resistente NSR-10, título F: estructuras metálicas.*

Estructuras de madera

- *National Design Specification for Wooden Construction*, United States.
- *Eurocode 5*, Europa.
- *Reglamento Colombia de Construcción Sismo resistente NSR-10, título G: estructuras de madera y estructuras de guadua.*

Vigas de secciones y formas estandar

Un vistazo a la norma NSR-10 para estructuras metalicas

NSR-10 – Capítulo F.5 – Estructuras de aluminio			
Tabla F.5.4.7-2 Parámetros de pandeo torsional para miembros a compresión			
1		$p \leq 5$	$\lambda_0 = \lambda_1 = 5B/(1 - 0.6p^{1/3})(H/\lambda_1)^{1/2}$ $\lambda = \lambda_1/\lambda_0$ $X = 0.6$
2		$p \leq 5$ $1 \leq w \leq 2.5$	$\lambda_0 = \lambda_1 - (w-1)[2(w-1)^2 - 1.5p]$ $\lambda = \lambda_1/\lambda_0$ $X = 0.6$
3		$p \leq 5$ $1 \leq w \leq 2.5$	$\lambda_0 = 66$ $\lambda = \lambda_1/\lambda_0$ $X = 0.6$
4		$p \leq 5$ $0.5 \leq B/D \leq 1.0$	$\lambda_0 = (H/\lambda_1)[4.1 + 0.5(B/D)^2] - 0.6p^{1/3}(H/\lambda_1)^{1/2}$ $\lambda = \lambda_1$ $X = 0.6 - 0.4(1 - B/D)^2$
5		$p \leq 5$ $0.5 \leq B/D \leq 1.0$	$\lambda_0 = \lambda_1 + 1.5p(w-1) - 2(w-1)^2$ $\lambda = \lambda_1$ $X = X_1$
6		$p \leq 5$ $0.5 \leq B/D \leq 1.0$	$\lambda_0 = 37$ $\lambda = \lambda_1$ $X = 0.60$
7		$p \leq 3.5$	$\lambda_0 = 5.1B/(1 - p^{1/3})(H/\lambda_1)^{1/2}$ $X = 1$
8		$p \leq 5$ $0.5 \leq B/D \leq 2.0$	$\lambda_0 = \lambda_1 = (H/\lambda_1)[4.4 + 1.1(B/D)^2] - 0.7p^{1/3}(H/\lambda_1)^{1/2}$ $\lambda = \lambda_1/\lambda_0$ $X = X_1 = 1.1 - 0.3B/D$
9		$p \leq 5$ $0.5 \leq B/D \leq 2.0$	$\lambda_0 = \lambda_1 + 1.5p(w-1) - 2(w-1)^2$ $\lambda = \lambda_1/\lambda_0$ $X = X_1$
F-493			

NSR-10 – Capítulo F.5 – Estructuras de aluminio			
Tabla F.5.4.7-2 (continuación) Parámetros de pandeo torsional para miembros a compresión			
10		$p \leq 5$ $0.5 \leq B/D \leq 2.0$	$\lambda_0 = 78$ $\lambda = \lambda_1/\lambda_0$ $X = 0.33$
11		$p \leq 5$ $0.5 \leq B/D \leq 2.0$	$\lambda_0 = 68$ $\lambda = \lambda_1/\lambda_0$ $X = 0.76$
12		$p \leq 5$ $0.5 \leq B/D \leq 2.0$	$\lambda_0 = 63$ $\lambda = \lambda_1/\lambda_0$ $X = 0.89$
13		$p \leq 5$ $0.5 \leq B/D \leq 2.0$	$\lambda_0 = (H/\lambda_1)[1.4 + 1.5(B/D)^2] - p^{1/3}(H/\lambda_1)^{1/2}$ $\lambda = \lambda_1/\lambda_0$ $X = 1.3 - 0.8B/D + 0.2(B/D)^2$
14		$p \leq 5$ $0.5 \leq B/D \leq 2.0$	$\lambda_0 = 65$ $\lambda = \lambda_1/\lambda_0$ $X = 0.78$
15		$p \leq 5$ $0.5 \leq B/D \leq 2.0$	$\lambda_0 = (H/\lambda_1)[7 + 1.5(B/D)^2] - p^{1/3}(H/\lambda_1)^{1/2}$ $\lambda = \lambda_1/\lambda_0$ $X = 0.35B/D - 0.04(B/D)^2$ $Y = 0.14 - 0.02B/D - 0.02C/H$
16		$p \leq 5$ $0.5 \leq B/D \leq 2.0$	$\lambda_0 = (H/\lambda_1)[7 + 1.5(B/D)^2] - p^{1/3}(H/\lambda_1)^{1/2}$ $\lambda = \lambda_1/\lambda_0$ $X = 0.35B/D - 0.04(B/D)^2 - 0.25C/B$ $Y = 0.12 - 0.02B/D + [0.4(C/H)^2]/(B/D - 0.5)$
17		$p \leq 5$ $0.5 \leq B/D \leq 2.0$	$\lambda_0 = (H/\lambda_1)[7 + 1.5(B/D)^2] - p^{1/3}(H/\lambda_1)^{1/2}$ $\lambda = \lambda_1/\lambda_0$ $X = 0.35B/D - 0.04(B/D)^2$ $Y = 0.12 - 0.02B/D + [0.05(C/H)]/(B/D - 0.5)$
F-494			

Figura: Recorte del título F de la NSR-10.

Eficiencia relativa de distintas formas de vigas

Desde el punto de vista de la resistencia, la eficiencia en vigas depende principalmente de la forma de la sección transversal. **La forma más eficiente es aquella en la cual el material está localizado lo más lejos posible del eje neutro.**

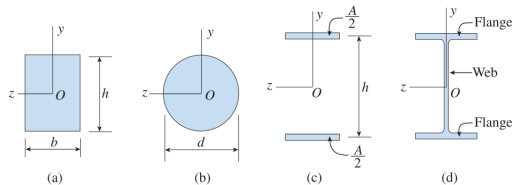


Figura: Diferentes secciones transversales de vigas.

Sección cuadrada:

$$S_{\text{cuadrado}} = \frac{h^3}{6}$$

$$= 0,1160d^3$$

Sección circular

$$S_{\text{circulo}} = \frac{\pi d^3}{32}$$

$$= 0,0982d^3$$

Sección ideal:

$$I = 2 \frac{A}{2} \left(\frac{h}{2} \right)^2 = \frac{Ah^2}{4}$$

$$S = \frac{1}{h/2} = 0,5Ah$$

Sección tipo I:

$$S \approx 0,35Ah$$

Ejemplo de clase

Example 5-5

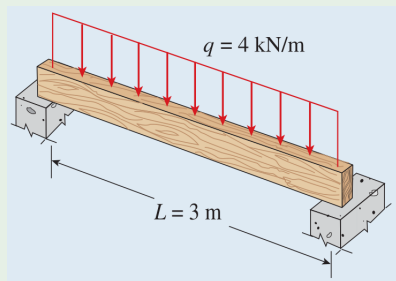


Figura: Viga de madera simplemente apoyada.

Una viga simplemente apoyada de madera tiene una luz de 3 m y soporta una carga uniformemente distribuida de 4 kN/m. El esfuerzo admisible a flexión es de 12 MPa, la madera pesa 5.4 kN/m^3 , y la viga está soportada lateralmente frente a pandeo (*buckling*) o vuelco (*tipping*). Seleccione una sección adecuada de la tabla en el apéndice F de Gere and Goodno (2012).

Estudio autónomo de la sección

Ejercicios recomendados

- Todos los ejemplos de la sección
- 5.6-5
- 5.6-12
- 5.6-17

Derrotero

- 5.6. Diseño de vigas por esfuerzos de flexión
- 5.8. Esfuerzos cortantes en vigas de sección rectangular
- 5.9. Esfuerzos cortantes en vigas de sección circular
- 5.10. Esfuerzos cortantes en el alma de vigas con alas
- 5.11. Flujo de cortante

Estudio autónomo de la sección

Ejercicios recomendados

- Todos los ejemplos de la sección
- 5.6-5
- 5.6-17

Derrotero

- 5.6. Diseño de vigas por esfuerzos de flexión
- 5.8. Esfuerzos cortantes en vigas de sección rectangular
- 5.9. Esfuerzos cortantes en vigas de sección circular
- 5.10. Esfuerzos cortantes en el alma de vigas con alas
- 5.11. Flujo de cortante

Esfuerzos cortantes en vigas de sección circular

Estudio autónomo de la sección

Ejercicios recomendados

- Todos los ejemplos de la sección
- 5.6-5
- 5.6-17

Derrotero

- 5.6. Diseño de vigas por esfuerzos de flexión
- 5.8. Esfuerzos cortantes en vigas de sección rectangular
- 5.9. Esfuerzos cortantes en vigas de sección circular
- 5.10. Esfuerzos cortantes en el alma de vigas con alas
- 5.11. Flujo de cortante

Vigas tipo I y su uso en la construcción

1. Vigas de perfiles metálicos.
2. Prefabricados para postensados
3. Alta rigidez a flexión (momento de inercia I_x)

Ejercicio

Calcule la inercia de la sección transversal de las siguientes vigas, ¿cuál ofrece mayor rigidez frente a una carga q uniformemente distribuida?

Estudio autónomo de la sección

Ejercicios recomendados

- Todos los ejemplos de la sección
- 5.6-5
- 5.6-17

Derrotero

- 5.6. Diseño de vigas por esfuerzos de flexión
- 5.8. Esfuerzos cortantes en vigas de sección rectangular
- 5.9. Esfuerzos cortantes en vigas de sección circular
- 5.10. Esfuerzos cortantes en el alma de vigas con alas
- 5.11. Flujo de cortante

Flujo de cortante

Lectura

Flujo de cortante, wikipedia, [link](#).

Estudio autónomo de la sección

Ejercicios recomendados

- Todos los ejemplos de la sección
- 5.6-5
- 5.6-17

Referencias

Gere, J. M. and Goodno, B. J. (2012). *Mechanics of materials*. Cengage learning.